

Abbildung 5.5: Proben F und G in der Zone $[100]$; a) Probe G; Dunkelfeldaufnahme mit dem Spaltstrukturreflex (010); b) Probe G; Dunkelfeldaufnahme mit dem Fundamentalarreflex (020); c) Probe F; Dunkelfeldaufnahme mit dem Fundamentalarreflex (020); d) Probe F; Dunkelfeldaufnahme mit dem mit 3 markierten Reflex; e) Beugungsbild der Probe F, mit 1 und 2 sind die Reflexe (001) und (010) gekennzeichnet, die zweite Masche (Reflexe 3 und 4) konnte nicht auf Basis der FeNbO_4 -Modifikationen indiziert werden. Es handelt sich offenbar um eine Fremdphase, die in definierter Form mit dem FeNbO_4 verwachsen ist.

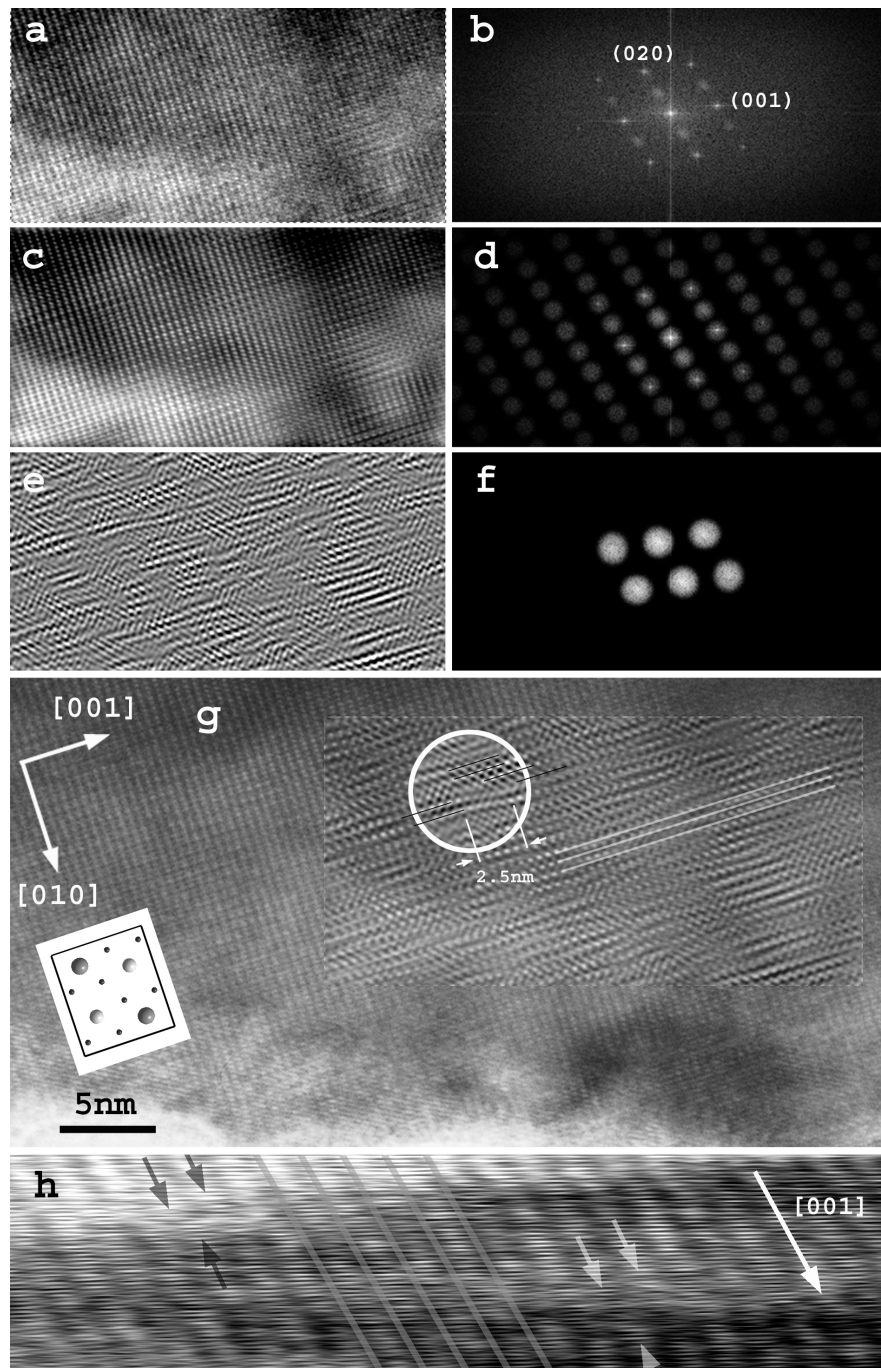


Abbildung 5.6: Probe C; hochaufgelöstes TEM-Bild der Zone $[100]$.

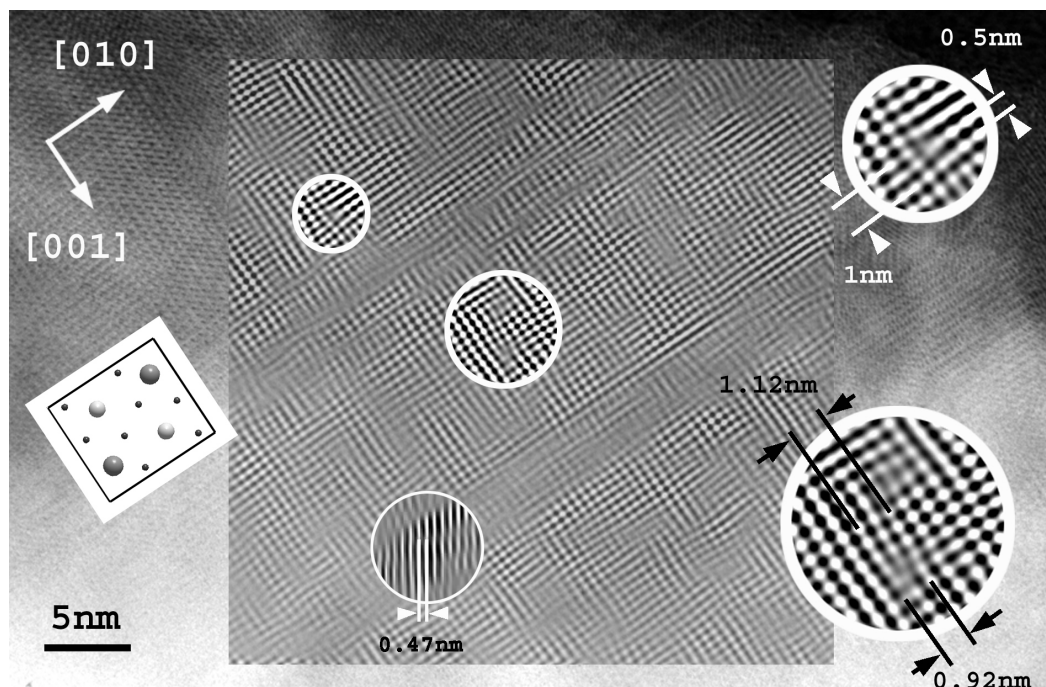


Abbildung 5.7: Probe D; hochaufgelöstes TEM-Bild der Zone $[100]$.